

文章编号:1006-9941(XXXX)XX-0001-11

# 一种新爆轰产物状态方程及其在炸药爆轰性能预测上的应用

彭 铖,张 蕾,谢明伟,麻宏亮,袁晓霞

(陕西应用物理化学研究所瞬态化学效应与控制全国重点实验室,陕西 西安 710061)

**摘要:** 为准确描述爆轰产物在高温高压下的热力学关系,拓展应用范围,实现CHNO单质/混合炸药与含能金属盐爆轰性能的可靠预测,基于Exp-6势的维里系数理论值建立了新气态爆轰产物状态方程Virial-Peng-Long(VPL),并基于更准确的“冷压”项与考虑金属高压热运动变化的“晶格振动”项建立了新凝聚态金属产物三项式状态方程Wu-Chen-Peng(WCP)。应用VPL计算了几种典型CHNO单质/混合炸药的爆轰参数,应用VPL与WCP评价了几种典型含能金属盐的爆轰CJ参数与驱动做功能力。结果表明,相比VLW和BKW,基于VPL能够更准确评价CHNO单质/混合炸药的爆轰性能,对太安(PETN)爆速预测偏差在 $\pm 2.1\%$ 以内,最高不超过2.5%;对RHT-901驱动圆筒稳定速度预测误差绝对值<1%。而VPL与WCP能够准确预测含能金属盐爆轰性能,其中对叠氮化铅爆轰CJ参数计算相对误差不超过 $\pm 4\%$ ;对铜叠氮化物驱动飞片速度预测相对误差绝对值小于1%。

**关键词:** 爆炸化学;爆轰产物状态方程;含能金属盐;爆轰性能;维里系数

中图分类号:TJ55;O64

文献标志码:A

DOI:10.11943/CJEM2024021

## 0 引言

基于爆轰产物状态方程进行炸药爆轰参数的热力学计算是研究炸药爆轰过程的基础,也是预测未知炸药爆轰性能、指导炸药装药配方设计与新炸药合成的重要方法。近年来,高能量密度含能材料分子设计得到大量研究,爆轰性能热力学计算有助于筛选具有合适爆轰性能的炸药分子<sup>[1]</sup>。因此,如何构建更加准确的爆轰产物状态方程成为国内外学者致力研究的课题,不同种类爆轰产物状态方程被提出,如Becker-Kistiakosky-Wilson(BKW)状态方程<sup>[2]</sup>、Jacobs-Cowperthwaite-Zwisler(JCZ)状态方程<sup>[3]</sup>、Virial-Wu(VLW)状态方程<sup>[1]</sup>等。其中,BKW和VLW状态方程基于真实气体的维里状态方程而建立,具有完美的理论背景和简洁的形式,在实际研究中得到广泛应用<sup>[1-2]</sup>。

---

收稿日期:2024-01-15;修回日期:2024-04-17

网络出版日期:2024-05-24

作者简介:彭铖(1995-),男,工程师,主要从事爆轰产物状态方程及微起爆传爆技术研究。e-mail:1435173736@qq.com

通信联系人:张蕾(1986-),女,高级工程师,主要从事微纳结构含能材料及火工品安全性研究。e-mail:ggy628@163.com

**引用本文:**彭铖,张蕾,谢明伟,等.一种新爆轰产物状态方程及其在炸药爆轰性能预测上的应用[J].含能材料,DOI:10.11943/CJEM2024021.

PENG Yue,ZHANG Lei,XIE Ming-wei,et al. A Novel Equation of State for Detonation Products and Its Application in Predicting the Detonation Performance of Explosives[J]. Chinese Journal of Energetic Materials (Hanneng Cailiao), DOI:10.11943/CJEM2024021.

物<sup>[7]</sup>, 但其“冷压”项参数未参考金属零温压缩  $p$ - $V$  关系标定, “热压”项参数标定未考虑金属热振动频率在高压下随体积的变化, 存在形式与参数上的不足。

针对以上问题, 为提高爆轰热力学计算的准确性, 同时拓展计算的材料范围实现对含能金属盐爆轰性能的准确预测。本研究通过理论分析与计算, 建立新的气态产物状态方程 Virial-Peng-Long (VPL) 与凝聚态金属产物状态方程 Wu-Chen-Peng (WCP)。将 VPL 与 WCP 应用在 CHNO 炸药与含能金属盐爆轰参数计算中, 通过与实验值及其他状态方程计算值对比分析, 并评价新状态方程在预测这两类含能材料的爆轰 CJ 参数及做功能力方面的准确性与适用性。

## 1 新爆轰产物状态方程

### 1.1 气态产物维里状态方程 Virial-Peng-Long

凝聚炸药的气态爆轰产物在 CJ 状态下可达到几至几十吉帕的压力与几千开尔文的温度, 密度超过炸药自身装药密度, 其热力学关系已经不能用理想气体状态方程来描述。维里状态方程考虑了分子体积与分子间相互作用, 理论上适合描述气体在高温高压下的热力学关系<sup>[8]</sup>。

$$\frac{pV_m}{RT} = 1 + \frac{B(T)}{V_m} + \frac{C(T)}{V_m^2} + \frac{D(T)}{V_m^3} + \frac{E(T)}{V_m^4} + \dots \quad (1)$$

式中,  $V_m$  是气体的摩尔体积,  $\text{cm}^3 \cdot \text{mol}^{-1}$ ;  $B(T)$ 、 $C(T)$ 、 $D(T)$ 、 $E(T)$ … 分别是气体的 2 阶、3 阶、4 阶、5 阶等维里系数, 描述不同温度下气体中 2 分子、3 分子、4 分子、5 分子等相互作用。低压下维里状态方程可简化为理想气体状态方程, 随着压力升高高阶维里项贡献连续增加。这一特性使维里状态方程适合描述炸药爆轰产物从爆轰波 CJ 点到波后爆轰产物膨胀做功过程中发生的热力学关系变化。

维里状态方程中的  $n$  阶维里系数可根据 Mayer 展开理论<sup>[8]</sup>计算:

$$B_n = \frac{1-n}{n!} N_A \int \dots \int \sum_G \left[ \sum_{ij \in G} f_{ij} \right] d\omega_1 \dots d\omega_{n-1} \quad (2)$$

$$f_{ij} = e^{-u(r_{ij})/k_B T} - 1 \quad (3)$$

式中,  $k_B$  是 Boltzmann 常数,  $1.3806488 \times 10^{-23} \text{ J} \cdot \text{K}^{-1}$ ;  $N_A$  是 Avogadro 常数,  $6.022 \times 10^{23} \text{ mol}^{-1}$ ;  $u(r_{ij})$  是描述两分子间相互作用的势函数。如前所述, VLW 状态方程中使用的 L-J 6-12 势函数并不适于描述气态爆轰产物。对分子间相互作用的理论研究表明, 分子间排斥作用使用指数函数描述更为合适<sup>[6]</sup>, 因此本研究使用

Exp-6 势函数描述气态产物分子:

$$u(r) = \begin{cases} \infty & r < r_m \\ \varepsilon \left[ \frac{6}{\alpha - 6} e^{\alpha(1 - r/r^*)} - \frac{\alpha}{\alpha - 6} \left( \frac{r^*}{r} \right)^6 \right] & r \geq r_m \end{cases} \quad (4)$$

式中,  $\varepsilon$  是分子间最大吸引能,  $\text{J}$ ;  $r^*$  是达到最大吸引能时的分子间距,  $\text{cm}$ ;  $\alpha$  是常数, 对于气态产物通常取  $\alpha=13.0$ <sup>[3]</sup>。

对于 Exp-6 势宽广温度范围内的 2 阶维里系数已有计算研究<sup>[9]</sup>, 通过最小二乘法拟合文献值建立 2 阶维里项。Kihara<sup>[10]</sup>通过对三分子相互作用空间关系进行分析提出了一种简便的 3 阶维里系数计算公式:

$$C = -4\pi^2 N_A \int_0^\infty \int_0^{0.75} \int_{1-\sqrt{1-y}}^{\sqrt{1-y}} R^5 f_{12} f_{23} f_{13} dR dy dx \quad (5)$$

式中,  $f_{ij}$  的表达式如式(3)所示, 其下标  $i, j$  代表分子  $i$  和分子  $j$ ;  $R$  是分子 1 和分子 2 之间相对距离;  $x$  是分子 1 与分子 3 之间相对距离;  $y$  是分子 2 与分子 3 之间相对距离。使用复合 Simpson 公式求解式(5)中的三重积分, 编写了 3 阶维里系数计算程序 Virial3th, 使用该程序计算了  $k_B T/\varepsilon=1 \sim 300$  范围内 Exp-6 势的 3 阶维里系数, 并使用最小二乘法对参数进行了拟合建立了 3 阶维里项。

对于 4 阶和 5 阶维里项, 四分子和五分子间相互作用的 Mayer 展开形式十分复杂, 很难直接求解。

Barker 等<sup>[11]</sup> 提出利用 Legendre 正交积分求解 4 阶和 5 阶维里系数的方法, 并使用该方法计算了 L-J 6-12 势在  $k_B T/\varepsilon=0.625 \sim 20$  下的 4~5 阶维里系数。本研究在其他基础上编写了 4 阶与 5 阶维里系数计算程序 Virial4th 与 Virial5th。为检验准确性, 首先计算了 L-J 6-12 势的 4~5 阶维里系数并与文献<sup>[11]</sup>记载的理论值进行了对比, 如图 1 所示。

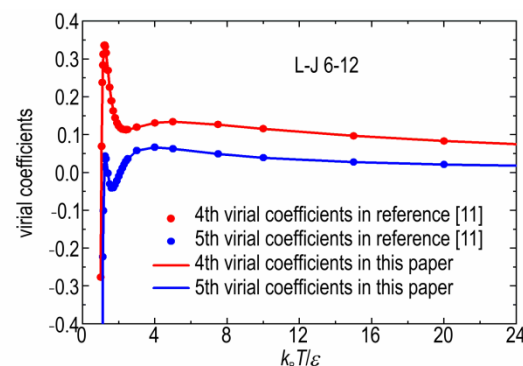


图 1 L-J 6-12 势 4~5 阶维里系数计算值与文献值<sup>[11]</sup>对比

Fig.1 Comparison between the calculated values and the literature values<sup>[11]</sup> of the 4~5th order Virial coefficients of L-J 6-12 potential

从图 1 中可以看到, 使用 Virial4th 和 Virial5th 程序可以得到准确的 4~5 阶维里系数值。对 Exp-6 势在  $k_B T/\varepsilon = 1\sim 300$  范围内的 4~5 阶维里系数进行了计算, 对计算结果使用最小二乘法拟合建立了 VPL 状态方程的 4~5 阶维里项。

通过基于维里系数理论计算值构建的 Exp-6 势下 2~5 阶维里项, 建立了 Virial-Peng-Long(VPL)状态方程, 如下所示:

$$\frac{pV_m}{RT} = 1 + B^*(T^*)(b_0/V_m) + C^*(T^*)(b_0/V_m)^2 + D^*(T^*)(b_0/V_m)^3 + E^*(T^*)(b_0/V_m)^4 \quad (6)$$

$$B^*(T^*) = \begin{cases} \sum_{i=1}^5 b_{2i-1} T^{*b_{2i}} & 1 \leq T^* \leq 50 \\ b_{11} + \sum_{i=6}^8 b_{2i} e^{T^*/b_{2i+1}} & T^* > 50 \end{cases} \quad (7)$$

表 1 VPL 状态方程的 2~5 阶维里项参数

Table 1 Parameters of 2~5th Virial term in VPL equation of state

type	value	type	value	type	value	type	value	type	value
$b_1$	-1.76358	$b_{15}$	-57.48673	$c_{12}$	0.04845	$d_9$	-0.71993	$e_3$	-17.56250
$b_2$	-2.22513	$b_{16}$	0.14818	$c_{13}$	-12.27360	$d_{10}$	-8.50898	$e_4$	-4.58881
$b_3$	-2.66841	$b_{17}$	-1305.43710	$c_{14}$	0.05856	$d_{11}$	-0.01212	$e_5$	18.27770
$b_4$	-0.75632	$c_1$	-1.14019	$c_{15}$	-43.70161	$d_{12}$	-15.88648	$e_6$	-8.71393
$b_5$	3.37443	$c_2$	-3.12627	$c_{16}$	0.04603	$d_{13}$	-7.38927	$e_7$	0.05914
$b_6$	-0.38402	$c_3$	-2.43735	$c_{17}$	-215.78612	$d_{14}$	-1.40048	$e_8$	-0.88679
$b_7$	1.08068	$c_4$	-0.83587	$d_1$	-2.35225	$d_{15}$	-1.31933	$e_9$	1.328E-7
$b_8$	-2.22385	$c_5$	5.18488	$d_2$	-3.78631	$d_{16}$	-0.87972	$e_{10}$	0.00612
$b_9$	-0.81853	$c_6$	-0.66549	$d_3$	-2.49397	$d_{17}$	3.52562	$e_{11}$	-17.37990
$b_{10}$	-1.56972	$c_7$	1.80678	$d_4$	-1.23009	$d_{18}$	-0.99915	$e_{12}$	0.01819
$b_{11}$	0.05199	$c_8$	-2.44981	$d_5$	2.23154	$d_{19}$	5.25646	$e_{13}$	-5.24886
$b_{12}$	0.10393	$c_9$	-0.21886	$d_6$	-1.09693	$d_{20}$	-1.55510	$e_{14}$	0.00104
$b_{13}$	-191.46520	$c_{10}$	-6.32838	$d_7$	2.20097	$e_1$	-1.57831	$e_{15}$	-66.58590
$b_{14}$	0.06510	$c_{11}$	0.00992	$d_8$	-3.78632	$e_2$	-12.25167		

Note:  $b_x, c_x, d_x, e_x$  are fitting coefficients of the dimensionless virial coefficient-temperature relationship for second, third, fourth, and fifth orders, respectively.

在得到准确的维里项形式后, 需要确定合适的产物分子势参数, 使 VPL 状态方程能够准确描述气态产物热力学关系。考虑炸药几种主要气态产物, 参考其在高温高压下  $pVT$  关系实验或分子动力学计算数据<sup>[12~17]</sup>使用 MATLAB 中的多目标优化遗传算法模块对气态产物分子势参数进行了优化。热力学数据参考文献、优化后的势参数及其与参考值之间的相对误差百分比(MAPE)如表 2 所示。

可以看到, 优化后的产物分子势参数使 VPL 能准确描述产物单组分气体的热力学关系, 计算相对

$$C^*(T^*) = \begin{cases} \sum_{i=1}^5 c_{2i-1} T^{*c_{2i}} & 1 \leq T^* \leq 7.5 \\ c_{11} + \sum_{i=6}^8 c_{2i} e^{T^*/c_{2i+1}} & T^* > 7.5 \end{cases} \quad (8)$$

$$D^*(T^*) = \begin{cases} \sum_{i=1}^6 d_{2i-1} T^{*d_{2i}} & 1 \leq T^* \leq 10 \\ \sum_{i=7}^{10} d_{2i-1} T^{*d_{2i}} & T^* > 10 \end{cases} \quad (9)$$

$$E^*(T^*) = \begin{cases} \sum_{i=1}^4 e_{2i-1} T^{*e_{2i}} & 1 \leq T^* \leq 5 \\ e_9 + \sum_{i=5}^7 e_{2i} e^{T^*/e_{2i+1}} & T^* > 5 \end{cases} \quad (10)$$

$$T^* = k_B T/\varepsilon \quad (11)$$

$$b_0 = \frac{2}{3} \pi N_A r^{*3} \quad (12)$$

式中,  $b_x, c_x, d_x, e_x$  分别代表 2 阶、3 阶、4 阶、5 阶无量纲维里系数-温度关系拟合式系数。VPL 状态方程中的 2~5 阶维里项参数如表 1 所示。

表 2 VPL 状态方程产物分子势参数优化结果

Table 2 Calibration results of molecular potential parameters and correction term parameters of VPL equation of state

species	$\varepsilon/k_B$ / K	$b_0$ / cm <sup>3</sup> ·mol <sup>-1</sup>	MAPE / %	ref.
H <sub>2</sub>	25.4	57.11	1.248	[12]
O <sub>2</sub>	97.6	75.38	1.035	[12]
CO <sub>2</sub>	164.4	105.33	1.157	[12~13]
CO	96.4	98.12	0.965	[12, 14]
NO	134.8	76.96	1.248	[15]
N <sub>2</sub>	83.9	96.28	0.671	[16]
CH <sub>4</sub>	145.3	84.25	1.184	[12~13]

Note:  $\varepsilon/k_B$  and  $b_0$  are parameters of Exp-6 potential.

误差在1%左右。对于强极性产物水,考虑极性分子间相互作用与温度相关性,参考文献[17]中记载

$$\varepsilon/k_B = \begin{cases} 528.25 - 1.28777T & 773.15K \leq T \leq 1373.15K \\ +0.00171T^2 - 5.66667 \times 10^{-7}T^3 \\ 950.978 - 0.43498T & 1373.15K < T \leq 4273.15K \\ +9.34123 \times 10^{-5}T^2 - 6.64705 \times 10^{-9}T^3 \end{cases} \quad (13)$$

$$b_0 = \begin{cases} 46.91216 + \frac{8.47704}{1 + e^{(T - 1501.43796)/122.12326}} & 773.15K \leq T \leq 1873.15K \\ 49.1 + \frac{-2.60211}{1 + e^{(T - 3122.91058)/351.45539}} & 1873.15K < T \leq 4273.15K \end{cases} \quad (14)$$

## 1.2 凝聚态金属产物三项式状态方程 Wu-Chen-Peng

理论上,对于金属,无论是固体还是液体,其高温高压热力学关系均可通过三项式状态方程描述<sup>[18]</sup>:

$$p = p_c(V) + p_{\text{ion}}(V, T) + p_{\text{Ele}}(V, T) \quad (15)$$

式中,  $p_c(V)$  是描述金属在零温下  $p-V$  关系的“冷压”项;  $p_{\text{ion}}(V, T)$  是考虑金属微观晶格振动的“晶格振动”项;  $p_{\text{Ele}}(V, T)$  是考虑微观下金属自由电子运动贡献的“电子运动”项。

对于“冷压”项,本研究使用物理背景清晰,形式简单,普适性强,适合描述金属在较大压力范围内热力学关系的 Vinet 状态方程<sup>[18]</sup>来计算:

$$p_c(V) = \frac{3B_{0K}(1-x)}{x^2} \exp[1.5(B'_{0K}-1)(1-x)] \quad (16)$$

$$x = (V/V_{0K})^{1/3} \quad (17)$$

$V_{0K}$  是金属在零温下的比容,可以根据金属热膨胀关系式近似给出<sup>[18]</sup>。

$$V_{0K} \approx \frac{V_0}{(1 + \alpha_L \Delta T_0)^3} \quad (18)$$

对于“冷压”项参数  $B_{0K}$  和  $B'_{0K}$ ,根据金属在常温常压下的热力学 Gruneisen 系数  $\Gamma_0$  与室温( $\approx 300$  K)下金属冲击波速度  $u_s$  与粒子速度  $u_p$  关系式参数<sup>[19]</sup>可使用吴强<sup>[18]</sup>提出的方法计算得到:

$$B_{0K} = \rho_{0K} C_0^2 \frac{(1-\varphi)^2}{(1-S_0\varphi)^3} [1 + (S_0 - \Gamma_0)\varphi] \quad (19)$$

$$B'_{0K} = 4S_0 \left( \frac{1-\varphi}{1-S_0\varphi} \right) \left[ \frac{1}{1+(S_0-\Gamma_0)\varphi} \right] \left[ 1 + \frac{1}{2} \left( S_0 - \Gamma_0 - \frac{\Gamma_0^2}{2S_0} \right) \varphi + \frac{\varphi^2}{4} (\Gamma_0^2 - \Gamma_0 S_0) \right] - 1 \quad (20)$$

$$\varphi = 1 - (V_{0K}/V_0) \quad (21)$$

对于金属三项式状态方程中的“晶格振动”项,本研究采用基于德拜模型得到的自由能表达式<sup>[20]</sup>:

的不同温度下高温高压  $pVT$  数据标定了水分子的势参数温度函数,如下所示:

$$F_{\text{ion}}(V, T) = \frac{9}{8} N k_B \Theta_D(V) + 3 N k_B T \ln[1 - \exp(-\Theta_D(V)/T)] - N k_B T d(\Theta_D(V)/T) \quad (22)$$

$$d(x) = \frac{3}{x^3} \int_0^x \frac{y^3}{e^y - 1} dy \quad (23)$$

式中,  $N=N_A/M$ ,  $M$  是金属的摩尔质量,  $\text{g}\cdot\text{mol}^{-1}$ 。 $\Theta_D(V)$  是德拜温度比容函数,可以从金属 Gruneisen 系数  $\Gamma$  随比容的变化规律出发,结合陈俊祥<sup>[21]</sup>通过理论分析建立的金属通用 Gruneisen 系数比容函数推导得到:

$$\Theta_D(V) = \Theta_D(V_0) \exp(0.2\Gamma_0\rho_0^3V^3 - 0.3\Gamma_0\rho_0^2V^2 - \Gamma_0\rho_0V + 1.1\Gamma_0) \quad (24)$$

式中,  $\Theta_D(V_0)$  是常温常压下金属的德拜温度, K。将式(31)代入式(27),可以得到完善的“晶格振动”项。根据热力学基本关系可以得到“晶格振动”项的压力形式:

$$p_{\text{ion}}(V, T) = N k_B \frac{\partial d[\Theta_D(V)/T]}{\partial [\Theta_D(V)/T]} \frac{\partial \Theta_D(V)}{\partial V} - \frac{9}{8} N k_B \frac{\partial \Theta_D(V)}{\partial V} - \frac{3 N k_B e^{-\Theta_D(V)/T}}{1 - e^{-\Theta_D(V)/T}} \frac{\partial \Theta_D(V)}{\partial V} \quad (25)$$

对于“电子运动”项,使用基于电子系统费米统计理论得到的金属自由电子气状态方程<sup>[22]</sup>:

$$p_{\text{Ele}}(V, T) = \frac{1}{4} \beta_0 \rho_0 \left( \frac{V_0}{V} \right)^{1/2} T^2 \quad (26)$$

式中,  $\beta_0$  是金属的电子比热系数,  $\text{J}\cdot\text{kg}^{-1}\cdot\text{K}^{-1}$ 。

式(16)、式(27)与式(28)结合,建立了三项式形式的凝聚态金属产物状态方程 Wu-Chen-Peng (WCP),铜、银、铅、镍四种金属的 WCP 状态方程参数如表 3 所示,其中  $\Gamma_0$  和  $\Theta_D(V_0)$  取自文献[22],  $\beta_0$  取自文献[23]。

将以上新建立的 VPL 和 WCP 状态方程植入基于最小自由能原理求解爆轰产物平衡组成的热力学程序<sup>[4]</sup>中,利用爆轰波 CJ 条件和爆轰 Hugoniot 关系求解

表3 WCP状态方程参数值

Table 3 The parameters of WCP equation of state

species	$\rho_0$ / g·cm <sup>-3</sup>	$B_{0K}$ / GPa	$B'_{0K}$	$\Gamma_0^{[22]}$	$\Theta_D(V_0)^{[22]}$	$\beta_0^{[23]}$ / J·g <sup>-1</sup> ·K <sup>-2</sup>	
Cu	8.930	9.068	142.1074	5.05	1.98	321	$1.08 \times 10^{-5}$
Ag	10.490	10.675	116.0718	5.21	2.41	231	$6.00 \times 10^{-6}$
Pb	11.340	11.642	49.8341	4.86	2.74	87	$1.45 \times 10^{-5}$
Ni	8.875	8.979	192.6397	4.76	1.83	450	$1.21 \times 10^{-4}$

Note:  $\rho_0$ ,  $\Gamma_0$ ,  $\Theta_D(V_0)$ ,  $\beta_0$  are the density, Gruneisen coefficient, Debye temperature, and electron specific heat of metals at room temperature and atmospheric pressure;  $\rho_{0K}$ ,  $B_{0K}$ , and  $B'_{0K}$  are the density, bulk moduli, and the first-order partial derivative of the  $B_{0K}$  with respect to pressure of metals at zero temperature and atmospheric pressure.

炸药爆轰CJ参数,利用爆轰产物波后膨胀的等熵特点计算膨胀过程  $p$ -V 关系。同时,本研究直接引入 Fried 等<sup>[24]</sup>建立的多相碳状态方程描述计算中涉及的凝聚碳产物。

## 2 应用新状态方程计算炸药爆轰性能

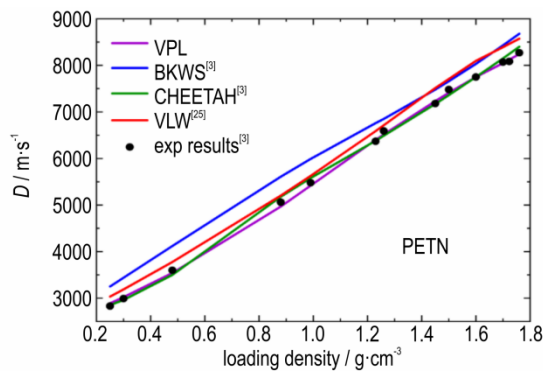
### 2.1 CHNO 单质/混合炸药爆轰性能计算

首先应用新建立的状态方程 VPL 计算 CHNO 单质/混合炸药的爆轰性能,为了更全面地评价新状态方程计算准确性,分别计算了不同类型炸药的不同种类爆轰性能参数,包括太安(PETN)的爆速,黑索今(RDX)的爆轰 CJ 压力,以及熔黑梯-901(RHT-901)的爆轰产物做功能力。

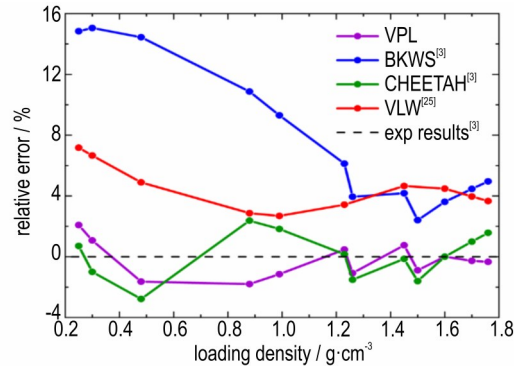
#### 2.2.1 PETN 爆速计算

PETN 的爆轰过程接近理想爆轰<sup>[4]</sup>且产物中凝聚碳含量很少,适合作为气态爆轰产物状态方程准确性检验的“参考物”。由于 PETN 爆速实验值相对较为丰富,且分布在较宽广的装药密度范围。因此,应用 VPL 计算了 PETN 在 0.25~1.76 g·cm<sup>-3</sup> 装药密度范围的爆速  $D$ 。在将计算结果与实验值<sup>[3]</sup>对比以检验其准确性的同时,为评价 VPL 相比另两种维里型气态爆轰产物状态方程 BKW 和 VLW 在计算准确性上的提高,也将计算结果与文献[3]中使用 BKWS, 文献[25]中使用 VLW 以及文献[3]中使用国际著名爆轰热力学计算程序 CHEETAH 在同样装药密度条件下得到的计算值进行了对比,如图 2 所示。

通过图 2 中的对比不难看出,VPL 计算值与实验值之间符合得很好,不同密度下计算结果相对误差均控制在  $\pm 2.1\%$  以内,最大计算偏差不超过 2.5%,计算准确性在不同密度下均明显优于 BKWS 和 VLW。CHEETAH 中的 JCZ3 状态方程参数参考产物热力学数



a. comparison between cal and exp results



b. relative error between cal and exp results

图 2 PETN 不同装药密度下爆速计算值与实验值对比

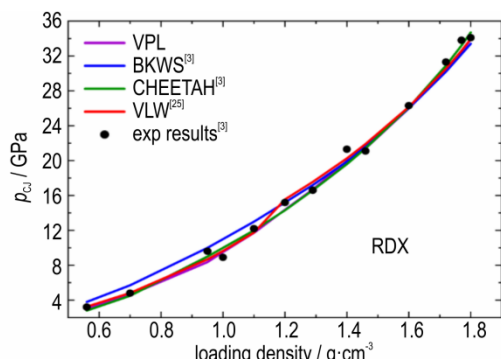
Fig.2 Comparison between calculated and experimental detonation velocities of PETN under different loading densities

据进行优化,因此能较准确预测 PETN 在不同密度下爆速,但高密度下 VPL 计算准确性明显好于 CHEETAH。这表明相比 CHEETAH, VPL 状态方程能够更准确描述气态产物在较高密度下的热力学关系,JCZ3 使用固体模型描述产物气体在高密度下的热力学关系,相比 VPL 使用的真实气体维里方程可能与实际情况存在一定的偏差。

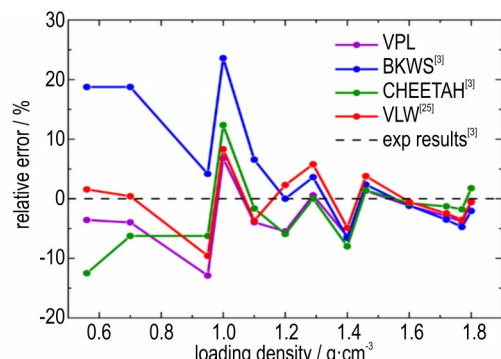
#### 2.2.2 RDX 爆轰 CJ 压力计算

作为一种常用炸药,RDX 在不同装药密度下的爆轰 CJ 压力实验数据较为丰富,使用 VPL 状态方程计算了 RDX 在 0.56~1.80 g·cm<sup>-3</sup> 装药密度范围的爆轰 CJ 压力  $p_{CJ}$ ,同样,在将计算结果与实验值<sup>[3]</sup>对比以检验其准确性的同时,为评价 VPL 相比另两种维里型气态爆轰产物状态方程 BKW 和 VLW 在计算准确性上的提高,也将计算结果与文献[3]中使用 BKWS, 文献[25]中使用 VLW 以及文献[3]中使用国际著名爆轰热力学计算程序 CHEETAH 在同样装药密度条件下得到的计算值进行了对比,如图 3 所示。

通过图 3 中的对比可以看到,VPL 计算值与实验



a. comparision between cal and exp results



b. relative error between cal and exp results

图3 RDX不同装药密度下爆轰CJ压力计算值与实验值对比

**Fig.3** Comparison between calculated and experimental detonation CJ pressure of RDX under different loading densities

值之间符合得较好, 相对误差基本维持在 $\pm 6\%$ 以内, 计算准确性与 VLW 和 CHEETAH 相近且明显优于 BKWS。不同于 BKWS 和 VLW, VPL 产物势参数未参考 RDX 爆压实验值标定, 因此可以认为 VPL 能够准确预测炸药在不同密度下的爆轰 CJ 压力。

### 2.2.3 RHT-901 爆轰产物做功能力计算

为评价 VPL 对炸药爆轰产物做功能力计算准确性。使用 VPL 状态方程计算了典型 CHNO 混合炸药 RHT-901 的爆轰产物等熵膨胀  $p$ -V 关系, 如图 4 所示。

根据所得数据使用基于非线性最小二乘法的 SE-QS 程序拟合了 RHT-901 的爆轰产物 JWL 状态方程参数, 如表 4 所示。

圆筒试验是评价炸药做功能力的标准方法, 使用基于 VPL 计算值拟合得到的爆轰产物

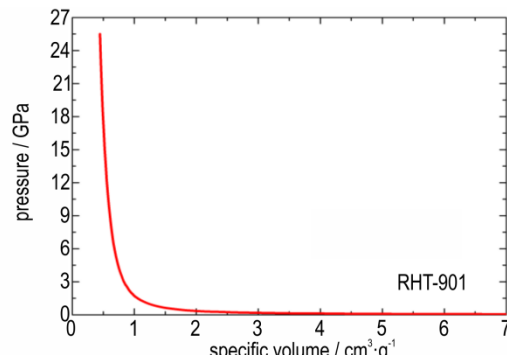


图4 应用 VPL 计算得到的 RHT-901 爆轰产物等熵膨胀  $P$ -V 关系

**Fig.4**  $P$ -V relationship of isentropic expansion of RHT-901 detonation products calculated using VPL equation of state

Jones-Wilkins-Lee(JWL)状态方程参数, 使用非线性动力学仿真软件 LS-DYNA 对 RHT-901 的标准圆筒试验进行动力学仿真, 仿真模型如图 5 所示。采用二维 1/4 几何结构, 其中炸药与圆筒结构尺寸与文献[26]记载的结构尺寸相同。圆筒内径 25 mm, 外径 30.12 mm, 长度 300 mm; 炸药尺寸  $\Phi 25 \times 300$  mm。圆筒材料为纯铜, 使用 Johnson-Cook 材料模型和 Gruneisen 状态方程, 参数取自文献[27]。

使用 LS-PrePost 软件对仿真结果进行后处理, 输出圆筒壁速度曲线与文献[26]记载的实验值以及文献[4]记载的基于 BKW 和 VLW 状态方程得到的仿真结果进行了对比, 如图 6 所示, 其中  $t=20 \mu s$  时刻圆筒壁速度  $u_{t=20}$  的实验值与仿真值对比如表 5 所示。

从图 5 和表 5 中的对比可以看到, 基于 VPL 得到的仿真结果与实验值间符合得更好,  $t=20 \mu s$  时刻筒壁速度仿真值与实验值之间相差不到 1%。基于 BKW 得到的筒壁速度明显高于实验值, 基于 VLW 得到的仿真结果好于 BKW, 但依然不及 VPL, 这表明 VPL 能更准确计算炸药爆轰产物在波后的膨胀做功过程。

## 2.2 含能金属盐爆轰性能计算

### 2.2.1 含能金属盐的爆速计算

使用新爆轰产物状态方程 VPL 与 WCP 对叠氮化铅、斯蒂芬酸铅、硝酸肼镍、5-硝基四唑亚铜、乙炔银-硝酸银五种含能金属盐在不同密度下的爆速  $D$  进

表4 RHT-901爆轰产物JWL状态方程参数标定结果

**Table 4** Parameter calibration results of JWL equation of state of the detonation products of RHT-901

parameters	$\rho_0 / g \cdot cm^{-3}$	$A / GPa$	$B / GPa$	$R_1$	$R_2$	$\omega$	$E_0 / Mbar$
value	1.705	297.3745	1.34495	3.3345895	0.6589378	0.3	0.0950146

Note:  $\rho_0$  is loading density of RHT-901;  $A$ ,  $B$ ,  $R_1$ ,  $R_2$ ,  $\omega$ ,  $E_0$  are JWL equation of state parameters of RHT-901.

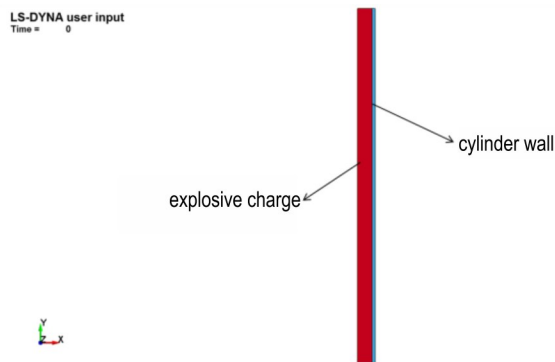


图 5 RHT-901 标准圆筒试验动力学仿真模型结构图

**Fig.5** Simulation geometric structure model of the standard cylinder test of RHT-901

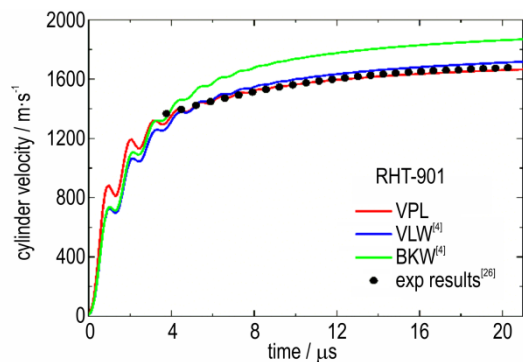


图 6 RHT-901 标准圆筒试验圆筒壁速度历程仿真结果与实验值对比

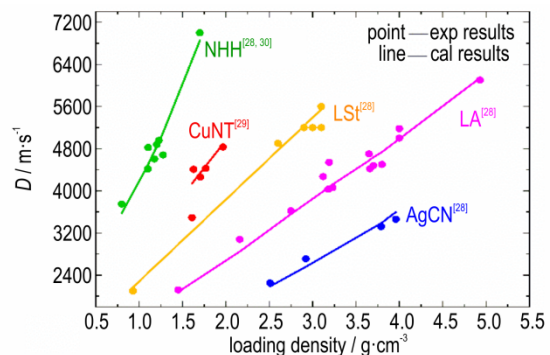
**Fig.6** Comparison between simulation and experimental values of cylindrical wall velocity history in Standard cylinder test of RHT-901

表 5 RHT-901 标准圆筒试验  $t=20 \mu\text{s}$  时刻圆筒壁速度仿真值与实验值对比

**Table 5** Comparison between simulation and experimental values of cylindrical wall velocity in  $t=20 \mu\text{s}$  in standard cylinder test of RHT-901

type	reference	$u_{t=20} / \text{m} \cdot \text{s}^{-1}$	relative error / %
exp results	[26]	1676	0
VPL	this study	1661	-0.895
VLW	[4]	1711	2.088
BKW	[4]	1861	11.038

行了计算，并与相关文献记载的实验值<sup>[28-30]</sup>进行了对比，如图 7 所示，其中点为实验值，线为计算值。从图 7 可以看到，虽然相关文献记载的实验值有一定分散性，但爆速-密度关系计算结果与实验值在趋势上符合得较好。除某些分散很大的实验值，计算结果与实验值之间相对误差基本维持在  $\pm 4.5\%$  以内，这表明 VPL 与 WCP 能准确预测不同种类含能金属盐在不同密度下的爆速。



LA—lead azide, LSt—lead styphnate, NHH—nickel hydrazine nitrate, CuNT—copper(I)-5-nitrotetrazolate, AgCN—silver acetylide-silver nitrate

图 7 五种含能金属盐爆速计算结果与实验值对比

**Fig. 7** Comparison between calculation and experimental values of detonation velocity of five energetic metal salts

### 2.2.2 叠氮化铅爆轰 CJ 参数计算

不难看到图 7 中的爆速实验值具有一定分散性，Mu<sup>[31]</sup>应用微尺度瞬态测试技术对叠氮化铅在装药密度  $3.571 \text{ g} \cdot \text{cm}^{-3}$  下的爆轰参数进行了精确测试，得到一组准确的爆速与爆轰 CJ 压力数据，将计算结果与其对比能够更准确而全面检验 VPL 与 WCP 对含能金属盐爆轰性能计算准确性。因此，使用方程 VPL 和 WCP 计算叠氮化铅在  $3.571 \text{ g} \cdot \text{cm}^{-3}$  下的爆速  $D$  与爆轰 CJ 压力  $p_{\text{CJ}}$ ，并与文献[31]中记载的实验值进行了对比，如表 6 所示。可以看到，采用 VPL 与 WCP 能够准确预测叠氮化铅的爆轰 CJ 参数，计算结果与文献[31]中采用高精度测试得到的实验值间相差不到  $4\%$ ，这进一步表明 VPL 与 WCP 能够准确预测含能金属盐的爆轰 CJ 参数。

表 6 叠氮化铅( $3.571 \text{ g} \cdot \text{cm}^{-3}$ )爆速与爆轰 CJ 压力计算值与实验值对比

**Table 6** Comparison between calculated and experimental values of detonation velocity and detonation CJ pressure of lead azide( $3.571 \text{ g} \cdot \text{cm}^{-3}$ )

type	exp results <sup>[31]</sup>	cal results	relative error / %
$D$	$4726 \text{ m} \cdot \text{s}^{-1}$	$4807 \text{ m} \cdot \text{s}^{-1}$	1.714
$p_{\text{CJ}}$	17.12 GPa	17.78 GPa	3.855

### 2.2.3 铜叠氮化物爆轰性能计算

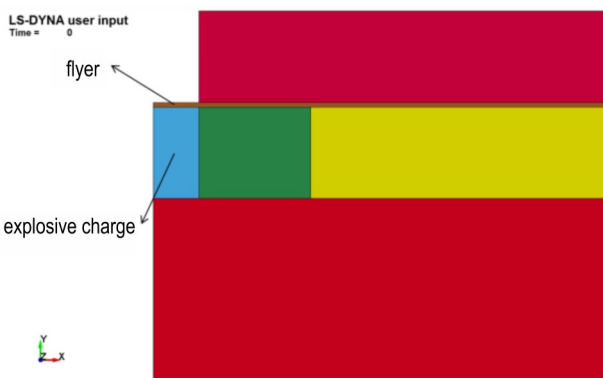
使用 VPL 与 WCP 计算了铜叠氮化物  $\text{CuN}_{4.4329}$ <sup>[32]</sup> 的爆轰 CJ 参数与爆轰产物等熵膨胀  $p$ - $V$  关系，并标定了爆轰产物 JWL 状态方程参数，如表 7 所示。

基于计算值使用 LS-DYNA 对  $\text{CuN}_{4.4329}$  爆轰驱动飞片过程进行动力学仿真，仿真模型如图 8 所示。采用

**表 7** CuN<sub>4.4329</sub>的爆轰 CJ 参数与爆轰产物 JWL 状态方程参数计算结果

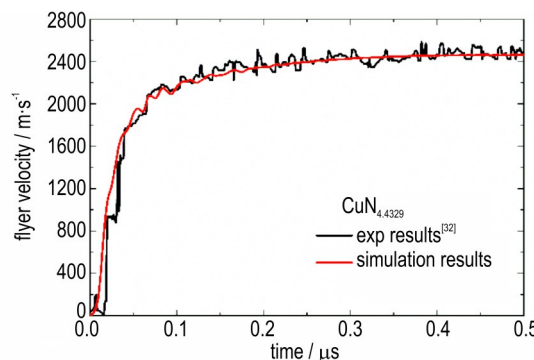
parameters	$\rho_0 / \text{g} \cdot \text{cm}^{-3}$	$D / \text{m} \cdot \text{s}^{-1}$	$P_{\text{CJ}} / \text{GPa}$	$A / \text{GPa}$	$B / \text{GPa}$	$R_1$	$R_2$	$\omega$	$E_0 / \text{Mbar}$
value	2.215	5640	15.36	179.11568	1.10224	3.319194	0.6540107	0.19	0.083062

Note:  $\rho_0$ ,  $D$ ,  $P_{\text{CJ}}$  are loading density, detonation velocity, and detonation CJ pressure of CuN<sub>4.4329</sub>;  $A$ ,  $B$ ,  $R_1$ ,  $R_2$ ,  $\omega$ ,  $E_0$  are JWL equation of state parameters of CuN<sub>4.4329</sub>.

**图 8** CuN<sub>4.4329</sub>爆轰驱动飞片动力学仿真模型结构图**Fig.8** Simulation geometric structure model of the detonation driven flyer test for CuN<sub>4.4329</sub>

二维 1/4 几何结构,装药与飞片结构及尺寸与文献[32]中相同,装药尺寸  $\Phi 1.0 \times 1.0 \text{ mm}$ ,飞片厚度 0.05 mm。飞片材质为纯钛,使用 Johnson-Cook 材料模型和 Gruneisen 状态方程,参数取自文献[27]。

使用 LS-PrePost 软件对仿真结果进行后处理,输出飞片速度曲线并与文献[32]记载的实验值进行对比,如图 9 所示,0.4~0.5  $\mu\text{s}$  间飞片平均速度  $u_{\text{average}}$  的实验与仿真值对比如表 8 所示。可以看到,仿真结果与实验曲线之间在飞片运动各个阶段均符合得很好,飞片稳定速度仿真值与实验值相差不到 1%,这表明新状态方程 WCP 与 VPL 能够准确评价含能金属盐的爆轰驱动能力。

**图 9** CuN<sub>4.4329</sub>爆轰驱动飞片速度历程仿真结果与实验值对比**Fig.9** Comparison between simulation and experimental values of detonation driven flyer velocity history for CuN<sub>4.4329</sub>**表 8** 飞片的材料模型及状态方程参数**Table 8** Material constitutive model and equation of state parameters of flyer

type	exp results <sup>[32]</sup>	sim results	relative error / %
$u_{\text{average}}$	2483 $\text{m} \cdot \text{s}^{-1}$	2459 $\text{m} \cdot \text{s}^{-1}$	-0.967
type	exp results <sup>[32]</sup>	sim results	relative error / %
$u_{\text{average}}$	2483 $\text{m} \cdot \text{s}^{-1}$	2459 $\text{m} \cdot \text{s}^{-1}$	-0.967

### 3 结论

研究通过理论计算得到了 Exp-6 势在  $T=1\sim300$  无量纲温度范围内的 3~5 阶维里系数,对其拟合建立了新气态产物状态方程 Virial-Peng-Long(VPL),并通过引入更准确的“冷压”项和考虑金属高压热运动变化的“晶格振动”项建立了新的凝聚态金属产物三项式状态方程 Wu-Chen-Peng(WCP),并将其应用到典型 CHNO 单质/混合炸药的爆轰参数,和典型含能金属盐的爆轰 CJ 参数与驱动做功能力计算中。得到结果如下:

(1) 使用 VPL 计算了 PETN、RHT-901 等几种典型 CHNO 单质/混合炸药的爆轰参数,通过对比表明通过 VPL 能够准确评价 CHNO 单质/混合炸药爆轰性能。对 PETN 爆速计算偏差在  $\pm 2.1\%$  以内,最高不超过 2.5%;对 RDX 爆轰 CJ 压力预测相对误差在  $\pm 6\%$  以内;对 RHT-901 圆筒实验筒壁稳定速度预测偏差绝对值  $< 1\%$ 。计算准确性相比 BKW 和 VLW 两种状态方程有了显著提高。

(2) 使用 VPL 与 WCP 评价了叠氮化铅、硝酸肼镍等几种典型含能金属盐的爆轰 CJ 参数与驱动做功能力,通过对比表明基于 VPL 与 WCP 能够准确预测含能金属盐爆轰性能。其中对叠氮化铅爆轰 CJ 参数计算偏差不超过 4%;对铜叠氮化物驱动飞片速度预测相对误差在 1% 以内。

本研究建立的新爆轰产物状态方程 VPL 与 WCP 用于 CHNO 单质/混合炸药与含能金属盐爆轰参数的热力学计算。为进一步实现 VPL 与 WCP 在爆炸动力学仿真的直接应用,提高仿真的准确性,下一步有待进行爆轰热力学计算与动力学仿真的耦合研究。

## 参考文献：

- [1] 吴雄. VLW 爆轰产物状态方程的发展及应用[J]. 火炸药学报, 2021, 44(1): 1-7.
- WU Xiong. Development and application of VLW equation of state for detonation products[J]. *Chinese Journal of Explosives & Propellants*, 2021, 44(1): 1-7.
- [2] SUCESKA M, ANG H G, STIMAC B, et al. BKW EOS: History of modifications and further improvement of accuracy with temperature-dependent covolumes of polar molecules[J]. *Polymer, Explosives, Pyrotechnics*, 2023, 48 (1) : e202100278.
- [3] HOBBS M L, SCHMITT R G, MOFFAT H K. JCZS3-an improved database for EOS calculations[R]. SAND2018-6389C, 2018.
- [4] 韩勇. 炸药爆轰产物状态方程理论与应用研究[D]. 绵阳: 中国工程物理研究院, 2015.
- HAN Yong. Theoretical and applied research on the equation of state for detonation products[D]. Mianyang: China Academy of Engineering Physics, 2015.
- [5] 韩勇, 郭向利, 龙新平. 高温高压 CO<sub>2</sub>状态方程研究[J]. 含能材料, 2016, 24(5): 462-468.
- HAN Yong, GUO Xiang-li, LONG Xin-ping. High temperature and high pressure equation of state of carbon dioxide[J]. *Chinese Journal of Energetic Materials (Hanneng Cailiao)* , 2016, 24(5): 462-468.
- [6] 赵雅琦. 短脉冲加载下小尺寸装药二维冲击起爆与爆轰特性[D]. 北京: 北京理工大学, 2022.
- ZHAO Ya-qi. Two-dimensional shock initiation characteristics of small-size charges under short-pulse loading [D]. Beijing: Beijing Institute of Technology, 2022.
- [7] 覃文志, 龙新平, 蒋小华. 金属配合物类炸药的爆轰性能计算及数值模拟[J]. 含能材料, 2011, 19(5): 540-543.
- QIN Wen-zhi, LONG Xin-ping, JIANG Xiao-hua. Calculation of detonation parameters of metal compounds explosives [J]. *Chinese Journal of Energetic Materials (Hanneng Cailiao)* , 2011, 19(5): 540-543.
- [8] BAI J F, ZHANG P, ZHOU C W, et al. Theoretical studies of real-fluid oxidation of hydrogen under supercritical conditions by using the virial equation of state [J]. *Combustion and Flame*, 2022, 243: 111945.
- [9] 韩勇, 龙新平, 黄毅民, 等. L-J Exp-6 两种形式势能函数对计算无量纲第二维里系数的影响[J]. 含能材料, 2009, 17(5): 574-577.
- HAN Yong, LONG Xin-ping, HUANG Yi-min, et al. Effects of L-J and Exp-6 potential function on calculation of reduced second virial coefficient[J]. *Chinese Journal of Energetic Materials (Hanneng Cailiao)* , 2009, 17(5): 574-577.
- [10] KIHARA B T. Determination of intermolecular forces from the equation of state of gases[J]. *Journal of the Physical Society of Japan*, 1948, 3(4): 265-268.
- [11] BARKER J A, LEONARD P J, POMPE A. Fifth virial coefficients [J]. *The Journal of Chemical Physics*, 1966, 44(11): 4206-4211.
- [12] BELONOSHKO A, SAXENA S K. A molecular dynamics study of the pressure-volume-temperature properties of supercritical fluids: II. CO<sub>2</sub>, CH<sub>4</sub>, CO, O<sub>2</sub>, and H<sub>2</sub>[J]. *Geochimica et Cosmochimica Acta*, 1991, 55(11): 3191-3208.
- [13] DUAN Z H, MOLLER N, WEARE J H. Molecular dynamics simulation of PVT properties of geological fluids and a general equation of state of nonpolar and weakly polar gases up to 2000 K and 20000 bar[J]. *Geochimica et Cosmochimica Acta*, 1992, 56(10): 3839-3845.
- [14] ZAUG J M, CARTER J A, BASTEA S, et al. Experimental measurement of speeds of sound in dense supercritical carbon monoxide and development of a high-pressure, high-temperature equation of state[J]. *The Journal of Physical Chemistry B*, 2013, 117(18): 5675-5682.
- [15] MAZEVET S, BLOTTIAU P, KRESS J D, et al. Quantum molecular dynamics simulations of shocked nitrogen oxide[J]. *Physical Review B*, 2004, 69(22): 224207.
- [16] SPAN R, LEMMON E W, JACOBSEN R T, et al. A reference quality equation of state for nitrogen[J]. *International Journal of Thermophysics*, 1998, 19(4): 1121-1132.
- [17] ZHANG Z G, DUAN Z H. Prediction of the PVT properties of water over wide range of temperatures and pressures from molecular dynamics simulation[J]. *Physics of the Earth and Planetary Interiors*, 2005, 149(3-4): 335-354.
- [18] 吴强. 金属材料高压物态方程及 Gruneisen 系数的研究[D]. 绵阳: 中国工程物理研究院, 2004.
- WU Qiang. Research on the high pressure equation of state and Gruneisen coefficient of metals [D]. Mianyang: China Academy of Engineering Physics, 2004.
- [19] MARSH S P. LASL shock Hugoniot data[M]. Berkeley: University of California Press, 1980.
- [20] GREEFF C W, BOETTGER J C, GRAF M J, et al. Theoretical investigation of the Cu EOS standard[J]. *Journal of Physics and Chemistry of Solids*, 2006, 67(9): 2033-2040.
- [21] 陈俊祥, 于继东, 李平, 等. Gruneisen  $\gamma$  通用函数及完全物态方程[J]. 物理学报, 2015, 64(8): 086401.
- CHEN Jun-xiang, YU Ji-dong, LI Ping, et al. Universal function of Gruneisen  $\gamma$  and the complete equation of state[J]. *Acta Physica Sinica*, 2015, 64(8): 086401.
- [22] ALTSHULER L V, BRUSNIKIN S E, KUZMENKOV E A. Isotherms and Gruneisen functions for 25 metals[J]. *Journal of Applied Mechanics and Technical Physics*, 1987, 28 (1) : 129-141.
- [23] 经福谦. 实验物态方程导引(第二版)[M]. 北京: 国防工业出版社, 1999: 122-128.
- JING Fu-qian. Introduction of experimental equation of state (Second Edition) [M]. Beijing: National Defense Industry Press, 1999: 44-46.
- [24] FRIED L E, HOWARD W M. Explicit Gibbs free energy equation of state applied to the carbon phase diagram[J]. *Physical Review B*. 2000, 61(13): 8734-8743.
- [25] 刘琴. 炸药爆轰过程中凝聚碳相态演化与能量释放的关联机制[D]. 合肥: 中国科学技术大学, 2022.
- LIU Qin. Correlation mechanism between phase evolution of condensed carbon and energy release during explosive detonation[D]. Mianyang: China Academy of Engineering Physics, 2011.
- [26] 董海山, 周芬芬. 高能炸药及相关物性能[M]. 北京: 科学出版社, 1989: 150.
- DONG Hai-shan, ZHOU Fen-Fen. Performance of high explosives and related substances [M]. Beijing: Science Press, 1989: 150.
- [27] 辛春亮, 薛再清, 涂建, 等. 有限元分析常用材料参数手册

- [M]. 北京: 机械工业出版社, 2018: 124–138.
- XIN Chun-liang, XUE Zai-qing, TU Jian, et al. Handbook of common material parameters for finite element analysis [M]. Beijing: China Machine Press, 2018: 124–138.
- [28] JAFARI M, KESHAVARZ M H, ZAMANI A, et al. A novel method for assessment of the velocity of detonation for primary explosives [J]. *Propellants, Explosives, Pyrotechnics*, 2018, 43(4): 342–347.
- [29] TAPPAN A S, BALL J P, MILLER J C. DBX-1 (copper(I)-5-nitrotetrazolate) reactions at sub-millimeter diameters [R]. SAND2013-4254C, 2013.
- [30] 曹仕瑾. 叠氮肼镍的结构与性能[D]. 南京: 南京理工大学, 2007. CAO Shi-jin. Structure and properties of nickel azide hydrazine [D]. Nanjing: Nanjing University of Science and Technology, 2007.
- [31] MU Y F, ZHANG W, SHEN R Q, et al. Observations on detonation growth of lead azide at microscale[J]. *Micromachines*, 2022, 13(3): 451.
- [32] PENG Y, YU Q X, YIN Q, et al. Performance investigation of a copper azide micro detonator using experiments and simulations[J]. *Propellants, Explosives, Pyrotechnics*, 2022, 47(4): e202100343.

## A Novel Equation of State for Detonation Products and Its Application in Predicting the Detonation Performance of Explosives

**PENG Yue, ZHANG Lei, XIE Ming-wei, MA Hong-liang, YUAN Xiao-xia**

(Shaanxi Applied Physic-Chemistry Research Institute, State Key Laboratory of Transient Chemical Effects and Control, Xi'an 710061, China)

**Abstract:** For accurately describe the thermodynamic relationship of detonation products under high temperature and pressure, so as to achieve reliable prediction of the detonation performance of CHNO elemental/mixed explosives and energetic metal salts. In this work, a new equation of state (EOS): Virial-Peng-Long (VPL) for gaseous detonation products, was established based on the theoretical calculation of the 2-5th order virial coefficients of Exp-6 potential within a wide dimensionless temperature range. At the same time, a new EOS for condensed metal products: Wu-Chen-Peng (WCP) EOS, was established by introducing a more accurate “cold pressing” term, and a “lattice vibration” term which considered the changes in the thermal motion of metals under high pressure. Then, the VPL EOS was applied to calculate the detonation parameters of some typical CHNO elemental/mixed explosives, and the detonation CJ parameters and driving capacity of some typical energetic metal salts were evaluated using VPL and WCP. By comparing with experimental values, it is shown that the prediction deviation of detonation velocity of pentaerythritol tetranitrate (PETN) is within  $\pm 2.1\%$ , with a maximum of about 2.5%; The absolute prediction error of the stable speed of copper cylinder driven by RHT-901 is less than 1%. VPL EOS and WCP EOS in this work can accurately evaluate the detonation performance of energetic metal salts. The relative error of detonation CJ parameters calculation for lead azide is within  $\pm 4\%$ , and the absolute value of relative error in predicting the speed of copper azide driven flyer is within 1%.

**Key words:** explosion chemistry; equation of state for detonation products; energetic metal salts; detonation performance; virial coefficients

**CLC number:** TJ55; O64

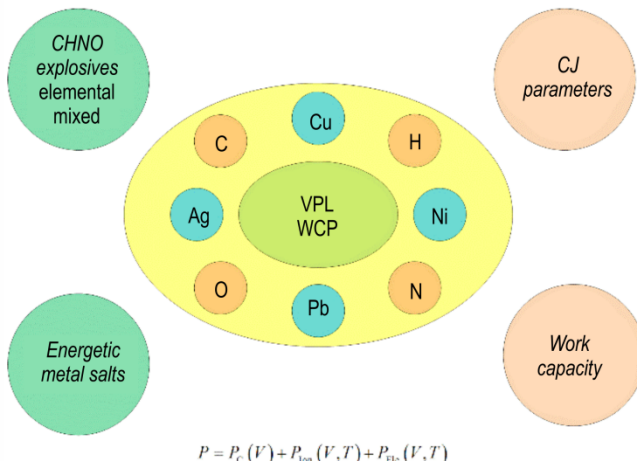
**Document code:** A

**DOI:** 10.11943/CJEM2024021

(责编: 高毅)

图文摘要：

$$\frac{PV_m}{RT} = 1 + B^*(T^*)\left(\frac{b_0}{V_m}\right) + C^*\left(T^*\right)\left(\frac{b_0}{V_m}\right)^2 + D^*\left(T^*\right)\left(\frac{b_0}{V_m}\right)^3 + E^*\left(T^*\right)\left(\frac{b_0}{V_m}\right)^4$$



In order to improve the reliability for calculation results of the detonation performance of CHNO elemental/mixed explosives and energetic metal salts. In this work, a novel virial equation of state (EOS) : Virial-Peng-Long (VPL) for gaseous detonation products, was established based on the 2-5th order virial coefficients of Exp-6 potential. Meanwhile, a novel trinomial EOS for condensed metal products: Wu-Chen-Peng (WCP) EOS, was established by a "lattice vibration" term with a universal Debye temperature specific volume function.